

ارتباط چشمه‌های گسلی با فرسایش بادی در محدوده چاله در آنجیر

اسماعیل پاریزی - دانشجوی دکتری ژئومورفولوژی، دانشگاه تهران.
مجتبی یمانی * - استاد گروه جغرافیای طبیعی، دانشکده جغرافیا، دانشگاه تهران.
سید رضا مهرنیا - دانشیار زمین‌شناسی، دانشگاه پیام نور تهران.
مهران مقصودی - استاد گروه جغرافیای طبیعی، دانشکده جغرافیا، دانشگاه تهران.
سید موسی حسینی - دانشیار گروه جغرافیای طبیعی، دانشکده جغرافیا، دانشگاه تهران.

پذیرش مقاله: ۱۴۰۲/۰۴/۲۱ تأیید نهایی: ۱۴۰۲/۰۴/۲۴

چکیده

فرسایش بادی و لندفرم‌های حاصل از آن چهره غالب دشت‌های هموار و پست مناطق خشک ایران است. شکل‌گیری پوشش گیاهی و نیکاهای در بخش داخلی کویر در آنجیر با وجود شوری و سخت شدگی زیاد رسوبات، سؤال‌هایی را در مورد عوامل اصلی کنترل‌کننده آن‌ها مطرح می‌کند. روند خطی پوشش گیاهی و نیکاهای و حرکت امتدادلغز گسل بافق - پشت بادام در این منطقه، فرضیه کنترل فرسایش بادی به علت وجود چشمه‌های آب شیرین گسلی را مطرح می‌کند. در این راستا، در وهله اول منطقه موردمطالعه با استفاده از تصاویر ماهواره‌ای، نقشه‌های زمین‌شناسی و بررسی‌های میدانی تعیین حدود شد. با توجه به اینکه در زمان حاضر فقط یک چشمۀ در امتداد گسل مذکور فعل است، یک نمونه ۱۰۰ میلی‌لیتری از آب چشمۀ جهت آنالیز ژئوشیمیایی برداشت گردید. علاوه بر این، ۴ گمانه در امتداد گسل تا عمق ۶۰ سانتی‌متر در منطقه رویش پوشش گیاهی و یک گمانه در رسوبات سخت شده کویر در آنجیر تا عمق ۲ متر حفاری و نمونه‌های رسوب و آب برداشت و سطح ایستابی در هر گمانه اندازه‌گیری شد. بعد از انتقال نمونه‌ها به آزمایشگاه ژئومورفولوژی، ابتدا آنالیز شیمیایی نمونه‌های آب با استفاده از دستگاه مولتی پارامتر مدل 5 HI9811-5 انجام شد. سپس با تهیه عصاره اشباع نمونه‌های رسوب، مقادیر TDS، EC و pH هر کدام از نمونه‌ها اندازه‌گیری شد. نتایج مؤید آن است که حرکت امتدادلغز گسل بافق - پشت بادام و به تبع آن ظهور چشمه‌های گسلی به سه شیوه متفاوت فرسایش بادی در منطقه موردمطالعه را تحت کنترل خود درآورده است: ۱. با تشکیل یک زون مرطوب سبب رویش انواع مختلف پوشش گیاهی شده است و سرعت باد را در سطح کاهش داده، ۲. با بالا آوردن سطح ایستابی در امتداد گسل مذکور و افزایش رطوبت سطحی مانع حمل و نقل رسوبات توسط باد شده است. ۳. با تشکیل نیکاهای سبب تجمع رسوبات بادی در اطراف درختچه‌ها شده است.

واژگان کلیدی: چشمۀ گسلی، فرسایش بادی، گسل بافق - پشت بادام، چاله در آنجیر.

مقدمه

فرسایش بادی و لندفرم‌های حاصل از آن چهره غالب دشت‌های هموار و پست مناطق خشک ایران است (یمانی، ۱۳۹۴، ۹۹). اهمیت فرسایش بادی به طور زیادی در بیابان‌ها به علت تنوع پذیری زیادی که در قدرت باد وجود دارد، متفاوت است (گودی^۱، ۲۰۱۳، ۱۱۴). این نوع از فرسایش که توسط قدرت فرسایش دهنگی باد و فرسایش پذیری سطوح تحت تأثیر کنترل می‌شود (شارما^۲، ۲۰۱۰، ۲۵۲) در سه مورد خطرناک می‌باشد: ۱. سطوح مغذی خاک را از بین می‌برد و درنتیجه خاک جهت حفظ یک پوشش گیاهی محافظت‌کننده بسیار کم‌توان می‌شود (توماس^۳، ۲۰۱۱، ۵۱۸)، ۲. تنهشست رسوبات فرسایش یافته می‌تواند گیاهان، کانال‌های زهکشی را دفن کند، ذخایر آب و غذا را آلوه کند و همچنین بر روی رشد گیاهان، بازدهی خاک، دینامیک اکوسیستم تأثیر منفی بگذارد (لارنی^۴ و همکاران، ۱۹۹۸، ۱۳۴؛ ورستر^۵، ۲۰۰۴؛ مک‌تینش و استرونگ^۶، ۲۰۰۷)، ۳. حمل و نقل رسوبات فرسایش یافته توسط بادهای قوی می‌تواند باعث خسارت به ساختمان‌ها، محصولات و همچنین ایجاد مشکلات میدان دید در جاده‌ها و فروگاه‌ها شود (توماس، ۲۰۱۱، ۵۱۸). بنابراین فهم بهتر دینامیک و فرآیندهای بادی در مناطق بیابانی جهت تشخیص مناسب و مؤثر و کاهش مخاطرات ژئومورفولوژیکی ضروری است (لانکستر^۷، ۲۰۱۳، ۲۲۹).

در میان عوامل کنترل‌کننده فرسایش بادی، عمق آب زیرزمینی و متعاقباً رطوبت سطحی جزو پارامترهای تعیین‌کننده مقدار رسوبات قابل حمل هستند (هسپ^۸، ۲۰۰۲؛ ۳۴۶؛ باذر^۹ و همکاران، ۱۰۷، ۲۰۰۹؛ پورتینگا^{۱۰} و همکاران، ۲۰۱۵؛ سیلوا^{۱۱} و همکاران، ۲۰۱۸، ۲۰۱۳؛ ابلینگر و آنthoni^{۱۲}؛ ۱۱۹۵؛ ۲۰۱۳، ۱۹۹۶؛ که سازوکار آن مبتنی بر تغییرات سطح آب زیرزمینی (درصد رطوبت خاک) و در نتیجه تغییر پتانسیل حمل و نقل رسوبات بادی است (یانگ و داویدسون، ۲۰۰۵، ۴۴۸؛ دارک و نیومن، ۲۰۰۸). علیرغم اینکه آب زیرزمینی نقش تعیین‌کننده‌ای در حمل و نقل رسوبات و فرسایش بادی در مناطق دارای سطح ایستابی بالا دارد، ولی تاکنون هیچ مطالعه‌ای در زمینه تأثیر چشمehای گسلی در کنترل فرسایش بادی انجام نشده است. بهینان دیگر با وجود اینکه محققین، تأثیر آب زیرزمینی بر فرآیندها و لندفرم‌های بادی را در زمینه‌هایی مانند عمق بالای آب زیرزمینی به عنوان یکی از عوامل محدودکننده منبع رسوبات تپه‌های ماسه‌ای (کوکیورک و نایلسون، ۱۹۸۶، ۷۹۵)، کنترل کننده میزان حمل و نقل رسوبات بادی (پورتینگا و همکاران، ۲۰۱۵، ۲۳)، تأثیر عمق آب زیرزمینی بر تشکیل تپه‌های ماسه‌ای (سیلوا و همکاران، ۲۰۱۸، ۲)، نقش کیفیت آب زیرزمینی بر ایجاد تپه‌های برخان و پارabolیک (لانگفرد^{۱۳} و همکاران، ۴۸، ۲۰۰۹) بیان نمودند، ولی تاکنون در زمینه نقش چشمehای گسلی به عنوان یکی از خروجی‌های آب زیرزمینی بر کنترل فرسایش بادی در سطح جهان انجام نشده است و این موضوع مسئله اصلی پژوهش را تشکیل داده است.

1. Goudie
2. Sharma
3. Thomas
4. Larney
5. Worster
6. McTainsh & Strong
7. Lancaster
8. Hesp
9. Bauer
10. Poortinga
11. Silva
12. Arens
13. Oblinger & Anthony
14. Langford

مطالعات انجام شده نشان می دهد که ۱۴ استان کشور تحت تأثیر فرسایش بادی قرار دارند (مخصوصی و همکاران، ۱۳۹۱، ۸۴). عبارت دیگر با توجه به اینکه پدیده فرسایش بادی در اقلیم های خشک و نیمه خشک عمل می کند و از طرفی بیش از دو سوم ایران در این اقلیم قرار گرفته است بنابراین فرسایش بادی به عنوان عامل مؤثر در تخریب و ایجاد خسارت در این مناطق ایفا نقش می کند (احمدی، ۱۳۸۷، ۲۵۲). در این زمینه استان یزد و بالخصوص چاله در آنجیر یکی از خشک ترین مناطق ایران محسوب می شود که بارش بسیار کم، فقر پوشش گیاهی، بادهای شدید باعث گردیده تا این منطقه به یکی از مخاطره آمیز ترین مناطق خشک به لحاظ فرسایش بادی تبدیل شود. در واقع فرسایش بادی شرایطی را به وجود آورده است تا فعالیت های انسانی در این منطقه تا حدودی متأثر از این نوع فرآیند باشد. وجود گسل بافق - پشت بادام با حرکت امتدادلغز راست گرد (آقاباتی، ۱۳۸۳، ۵۴) و شکل گیری انواع پوشش گیاهی، نیکاه و ظهر چشمها به موازات گسل، فرضیه کنترل فرسایش بادی به وسیله آب شیرین چشمها گسلی را در ذهن متباور می کند. در واقع این چشمها به عنوان یکی از شواهد حركت امتدادلغز گسل ها اغلب در امتداد زون های گسلی یافت می شوند، زیرا سنگ های خردشده مرتبط با گسل هم می توانند یک مانع مؤثر و هم هدایت کننده آب های زیرزمینی باشد و باعث هدایت این آب ها به سطح زمین شوند (کلر و پینتر^۱، ۱۹۹۶، ۶۰); بنابراین نحوه تأثیر چشمها گسلی بر تشکیل لندرم های بادی و کنترل فرسایش بادی مسئله تحقیق می باشد.

از جمله تحقیقات انجام شده در زمینه نقش آب زیرزمینی بر لندرم های بادی می توان به موارد ذیل اشاره نمود: کوکیورک و نایلسون^۲ (۱۹۸۶) در پژوهشی با عنوان شرایط مطلوب برای تشکیل پهنه های ماسه ای، چنین نتیجه گرفتند که عمق بالای آب زیرزمینی می تواند به وسیله حفظ رطوبت سطحی، مقدار ماسه قبل حمل توسط باد را کاهش دهد. فریرگر^۳ (۱۹۸۸) با مطالعه ای با عنوان تأثیر آب زیرزمینی تزدیک سطح زمین بر میزان ته نشت رسوبات بادی چنین بیان می دارد که سطح ایستابی بالای آب زیرزمینی عامل کنترل کننده ته نشت رسوبات بادی است. پای و تسوار^۴ (۲۰۰۸) با تحقیق بر روی تپه های ماسه های چنین استنباط نمودند که در محیط های بیابانی گرم که سطح آب زیرزمینی شور بالا است، تبخیر آب زیرزمینی ممکن است موجب سیمانی شدن بخش های بین تپه ها و قسمت های پایینی تپه های ماسه ای شود. لانگفرد و همکاران (۲۰۰۹) در پژوهشی با عنوان میزان شوری آب زیرزمینی به عنوان یک عامل کنترل کننده بر روی تشکیل تپه های ماسه ای در نیومکریکو چنین استنباط نمودند که تشکیل تپه های پارabolیک و برخان به سبب تنوع در کیفیت آب زیرزمینی در منطقه موردمطالعه است. به عبارتی در مناطقی که آب زیرزمینی شیرین است، پوشش گیاهی رشد کرده و موجب تشکیل تپه های پارabolیک می شود؛ در مقابل در مناطقی که شوری افزایش پیدا می کند، هیچ گیاهی رشد نمی کند و تپه های برخان شکل می گیرند. سیلو و همکاران (۲۰۱۸) در پژوهشی با عنوان تأثیر عمق آب زیرزمینی بر تشکیل تپه های ساحلی، بیان می دارد که در مناطق دارای سطح ایستابی بالای آب زیرزمینی، منبع ماسه محدود می گردد و فقط لندرم نبکا در این مناطق تشکیل می شوند.

هدف از این پژوهش ارزیابی نقش چشمها گسلی در کنترل فرسایش بادی و تشکیل لندرم های مربوط به آن است. در این راستا، سعی شده برای اولین بار با بهره گیری از داده های زمین شناسی، بررسی های میدانی و آنالیز های ژئوشیمیایی، نحوه تأثیر چشمها گسلی در کنترل فرسایش بادی بررسی گردد. نتایج این پژوهش در مدیریت مناطق بیابانی به ویژه مناطقی که دچار مشکلات فرسایش بادی هستند، از اهمیت قابل توجهی برخوردار است.

1. Keller & Pinter

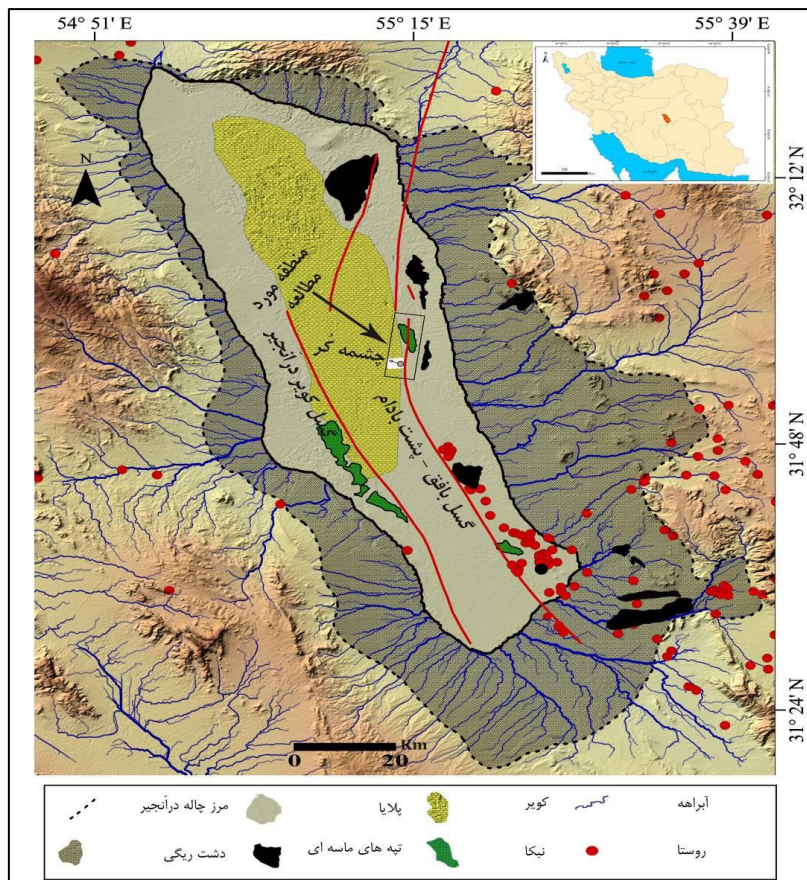
2. Kocurek & Nielson

3. Fryberger

4. Pye & Tsoar

موقعیت جغرافیایی، زمین‌شناسی و اقلیمی چاله در آنجیر

منطقه مورد مطالعه بخشی از چاله در آنجیر می‌باشد که با وسعت $4687/11$ کیلومترمربع و موقعیت $59^{\circ} 37' \text{ تا } 55^{\circ} 31'$ طول جغرافیایی و $18^{\circ} \text{ تا } 22^{\circ}$ عرض جغرافیایی تقريباً در مرکز استان یزد در یک چاله گرانی شکل واقع شده است. از منظر زمین‌شناسی نیز چاله در قلمرو رسوبات کواترنری قرار دارد و پلایای درانجیر به وسیله دو گسل کویر در آنجیر و گسل بافق - پشت بادام محصور شده است. گسل پشت بادام از گسل‌های پره کامبرین، ژرف و خمیده ایران مرکزی است که دارای حرکت راست لغز می‌باشد (آقاباتی، ۱۳۸۳، ۶۵۴). حداقل و حداکثر ارتفاع چاله در آنجیر 811 و 1772 متر از سطح دریا، میانگین بارش و دمای سالانه $(1993-2010)$ 51 میلی‌متر و $21/4$ سانتی‌گراد می‌باشد (سازمان هواشناسی). همچنین قوی‌ترین بادهای این چاله در فصل تابستان از سمت شمال و شمال غرب می‌وزند. بارش بسیار کم، فقر پوشش گیاهی، توپوگرافی نسبتاً هموار، استمرار و طول محیط در معرض باد و رسوبات سطحی منفصل باعث گردیده که فرسایش بادی به عنوان فرآیند اصلی فرسایش در این منطقه جلوه‌گر باشد (شکل ۱).



شکل ۱: موقعیت جغرافیایی منطقه مورد مطالعه

مواد و روش‌ها

داده‌ها و روش‌گردآوری

داده‌های پژوهش به طور مستقیم و از طریق کارهای میدانی تفصیلی برداشت شده‌اند. این داده‌ها در چهار گروه اصلی قابل تدقیک هستند: داده‌های نمونه رسوب که از طریق مغزه گیری توسط دستگاه اوگر دستی برداشت شده‌اند. داده‌های کمی و کیفی آب زیرزمینی که ابتدا توسط حفاری به وسیله اوگر و برداشت نمونه آب به وسیله دستگاه نمونه‌بردار آب و همزمان اندازه‌گیری عمق آب توسط متر و در مرحله بعد انجام کارهای ژئوشیمی بر روی نمونه‌ها انجام گردید، داده‌های اکولوژی که از طریق مشاهدات میدانی، تهیه عکس و تعیین نوع پوشش گیاهی آماده گردید. لازم به یادآوری است که

موقعیت جغرافیایی و ارتفاعی گمانه ها و نیز تعیین مختصات مکان های نمونه برداری توسط دستگاه GPS در تمام مراحل کار میدانی ثبت شده و بر روی نقشه های پایه انتقال داده شده است.

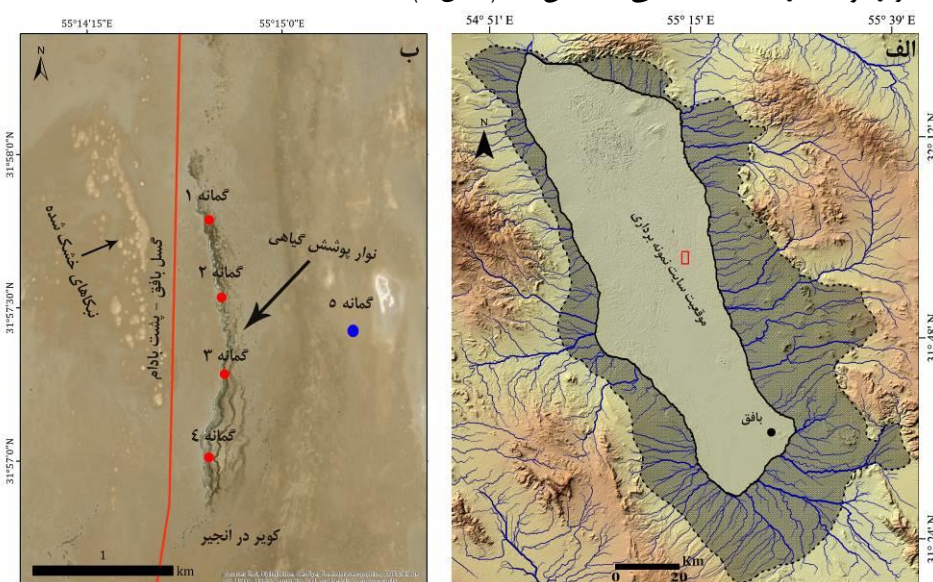
ابزارهای پژوهش

ابزارهای فیزیکی پژوهش را نقشه های توپوگرافی و همچنین نقشه های زمین شناسی ۱/۱۰۰۰۰۰ مربوط به مناطق بافق، آریز، سیریز، فهرج، اسفوردی، شمش، خرانق تشکیل داده اند. از طریق این نقشه ها ضمن تعیین قلمرو مطالعاتی، داده های لیتولوژی و گسل ها استخراج شده اند. برای تهیه داده های تکمیلی و تحلیل نمونه های رسوبی ابزارهای آزمایشگاهی مانند مغزه بردار نوع اوگر دستی، دستگاه نمونه بردار آب، دستگاه مولتی پارامتر مدل ۵- HI98111، ساتریفیوژ و سایر ابزارهای آزمایشگاهی به کار گرفته شده اند. در تمانی مراحل کار میدانی نیز از دستگاه GPS برای مارک کردن نقاط نمونه گیری و ثبت موقعیت محل گمانه ها و نظایر آن بهره گیری شده است.

ابزارهای مفهومی را عمدتاً نرم افزارهای GIS، Surfer و Global Mapper تشکیل داده اند. از این نرم افزارها برای آنالیزهای مکانی و تهیه نقشه های منطقه موردمطالعه استفاده شده است.

روش تجزیه و تحلیل

در نخستین گام بر اساس نقشه های زمین شناسی، تصاویر Google Earth و بازدیدهای میدانی مناطق متاثر از چشمدهای گسلی در کویر در آنجیر شناسایی شدند. در مرحله بعد جهت تعیین نحوه تأثیر چشمدها بر کنترل فرسایش بادی، ابتدا از تنها چشمde فعال در امتداد گسل بافق - پشت بادام (چشمde گر)، ۱۰۰ میلی لیتر آب جهت آنالیز شیمیایی نمونه برداری شد. سپس جهت تعیین سطح ایستابی و آنالیز شیمیایی نمونه های آب و رسوب در امتداد گسل بافق - پشت بادام، ۴ نقطه جهت گمانه برداری انتخاب و موقعیت و ارتفاع گمانه ها توسط دستگاه GPS تعیین شد(شکل ۲، ب، گمانه های ۱، ۲، ۳ و ۴). علاوه بر این، یک گمانه^۱ در فاصله ۸۰۰ متری از امتداد گسل (گمانه ۵ در شکل ۲ ب) برای تعیین سطح ایستابی کویر در آنجیر و آنالیز رسوبات در منطقه مطالعاتی مشخص شد (شکل ۲).



شکل ۲: موقعیت مناطق گمانهزنی و نمونه برداری

۱. علت حفر فقط یک گمانه در رسوبات سخت کویر در آنجیر، سخت شدگی زیاد رسوبات بود که حفاری را متوقف می کرد.

سپس با استفاده از یک دستگاه اوگر به طول دهانه ۲۰ سانتیمتر و قطر ۷/۵ سانتیمتر اقدام به مغزه گیری در امتداد گسل شد (شکل ۳). به این صورت که نمونه گیری در هر گمانه با فواصل ۲۰ سانتیمتر انجام گردید. در مرحله بعد هر نمونه به خوبی مخلوط و ۱۰۰ گرم از هر کدام از نمونه‌ها جهت آنالیزهای شیمیایی برداشته شد. همچنین پس از عبور از سطح ایستابی، در وهله اول سطح آب به وسیله ابزار متر در هر گمانه اندازه گیری و سپس با استفاده از دستگاه نمونه‌بردار آب، ۱۰۰ میلی‌لیتر آب جهت انجام آزمایش ژئوشیمی برداشت شد. در مجموع ۴ نمونه آب و ۲۲ نمونه رسوب برداشت گردید.



شکل ۳: تصاویری از روش و ابزارهای نمونه‌برداری میدانی در عرصه طبیعی

بعد از انتقال نمونه‌ها به آزمایشگاه ژئومورفولوژی، ابتدا مقادیر TDS و EC نمونه‌های آب با استفاده از دستگاه مولتی پارامتر مدل 5-HI9811 جهت محاسبه مقادیر TDS و EC نمونه‌های رسوب، از روش عصاره اشباع استفاده شد. بدین صورت که ابتدا نمونه‌های موردنظر در دستگاه خشک کن، خشک شدند، سپس ۵۰ گرم از هر نمونه با ترازوی دقیق وزن و با ۵۰ میلی‌لیتر آب مقطر ترکیب شد. در مرحله بعد با استفاده از دستگاه شیکر لوله (ورتکس) آب مقطر و نمونه‌های خاک به خوبی مخلوط شدند، سپس با استفاده از دستگاه سانتریفیوژ آب حاوی ترکیب شیمیایی رسوبات تفکیک و مانند نمونه‌های آب، با استفاده از دستگاه مولتی پارامتر و ابزارهای دیگری نظیر پیشر، پیپت و پووار مقادیر TDS و EC نمونه‌ها اندازه گیری شدند (شکل ۴).



شکل ۴: تصاویری از ابزارهای آزمایشگاهی استفاده شده

یافته‌ها

چشمه‌های گسلی و نوار پوشش گیاهی

چشمه‌ها به عنوان یکی از آثار گسل‌های عادی و امتدادلغز شاهدی از فعالیت گسل بافق – پشت بادام می‌باشد. در واقع فعالیت‌های نوزمین ساخت در راستای گسل مذکور علاوه بر ظهور مستقیم آب زیرزمینی به صورت چشمی در راستای گسل، با نفوذ آب شیرین به آبخوان، موجب کاهش شوری آب زیرزمینی و پیدایش یک زون مرطوب در راستای اثر گسل در کویر درآنجیر شده است. این زون مرطوب در راستای اثر گسل در منطقه مورد بررسی سبب رشد و نموی قابل توجه درختچه‌ها، درختان گز و بوته‌های نی شده و سرعت باد سطحی را در منطقه موردمطالعه کاهش داده است (شکل ۵).



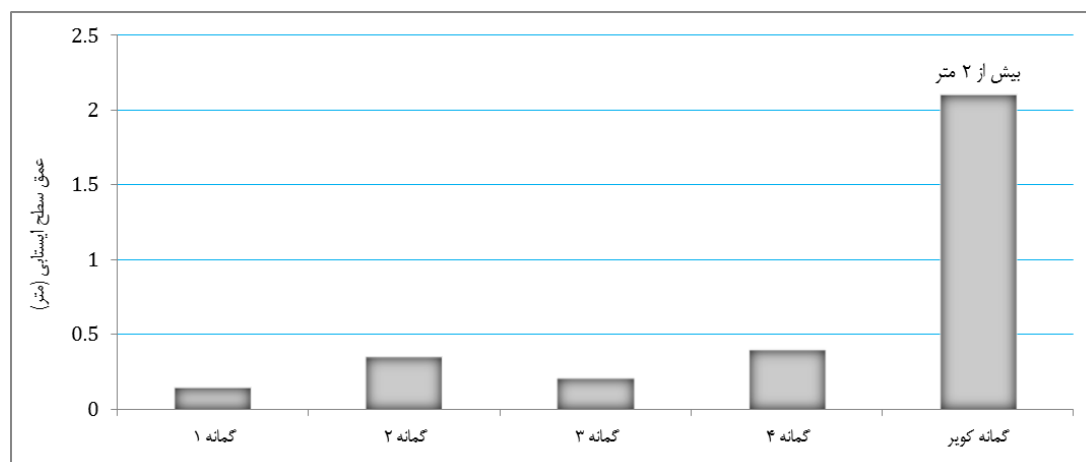
شکل ۵. چشمه گسلی گُر در امتداد گسل بافق – پشت بادام

ویژگی‌های هیدرولوژی

همان‌طور که ذکر شد، حرکت امتدادلغز گسل بافق – پشت بادام علاوه بر ظهور مستقیم چشمه‌های گسلی، سبب بالا آمدگی آب زیرزمینی و افزایش قابل توجه رطوبت سطحی در امتداد گسل مذکور شده است؛ بنابراین جهت بررسی کمیت و کیفیت آب زیرزمینی ۴ گمانه با فواصل منظم در امتداد گسل حفر شد (شکل ۲، ب، گمانه‌های ۱، ۲، ۳ و ۴). نتایج بررسی‌های صورت گرفته بر روی خصوصیات کمی و کیفی آب زیرزمینی در امتداد گسل بافق – پشت بادام به شرح جدول ۲ و شکل ۶ می‌باشد. این نتایج حاکی از آن است که حداقل سطح ایستابی، TDS و EC در امتداد گسل به ترتیب ۰/۱۵ متر، ۶۱۲۸۴ $\mu\text{S}/\text{cm}$ و ۳۰۴۵۲ppm و حداکثر $۰/۴۰$ متر، $۲۴۶۵۸\mu\text{S}/\text{cm}$ و ۱۲۲۳۵ppm می‌باشد. علاوه بر حفاری‌های انجام‌شده در امتداد گسل بافق پشت بادام، جهت اندازه‌گیری سطح ایستابی و شوری آب زیرزمینی کویر در انجیر، گمانه‌ای به فاصله ۸۰۰ متری از امتداد گسل حفر شد (شکل ۲، ب، گمانه ۵)؛ اما با وجود ۲ متر حفاری در رسوبات سخت کویر دست‌یابی به سطح ایستابی امکان‌پذیر نگشت. این نتایج نشان می‌دهد که چشمه‌های گسلی با تزریق آب شیرین در امتداد گسل نه تنها شوری آب زیرزمینی کویر را کاهش داده است، بلکه سطح ایستابی را نیز در امتداد گسل مذکور بالا آورده است و حمل و نقل رسوبات توسط باد را به حداقل ممکن رسانده است.

جدول ۱: نتایج آنالیز ویژگی‌های کمی و کیفی آب زیرزمینی در منطقه مورد مطالعه

TDS (ppm)	EC ($\mu\text{S}/\text{cm}$)	pH	سطح ایستابی (متر)	شماره گمانه	منطقه نمونه‌برداری
۲۴۰	۵۱۰	۶/۱	-	-	چشمه کُر
-	-	-	بیش از ۲ متر	-	کویر در آنجیر
۳۰۴۵۲	۶۱۲۸۴	۶/۳	۰/۱۵	۱	امتداد گسل بافق – پشت بادام
۱۸۵۳۹	۴۰۶۲۰	۶/۵	۰/۳۵	۲	
۱۶۸۵۸	۳۳۳۱۱	۶/۶	۰/۲۱	۳	
۱۲۲۳۵	۲۴۶۵۸	۶/۷	۰/۴۰	۴	
۱۹۵۲۱	۳۹۹۶۸	۶/۵	۰/۲۷	میانگین	



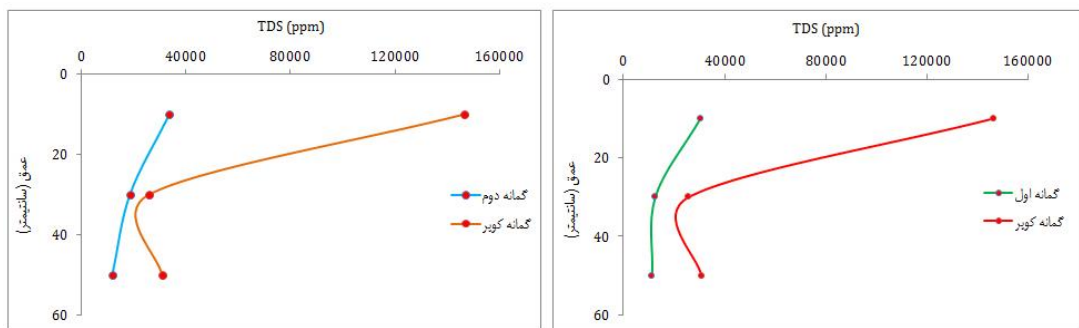
شکل ۶: تغییرات عمق سطح ایستابی در گمانه‌های برداشت شده

تجزیه و تحلیل شیمیایی رسوبات

یافته‌های حاصل از آنالیز نمونه‌های رسوب گمانه‌های مورد مطالعه به شرح جدول ۳ و اشکال ۸ و ۹ می‌باشد. جدول ۳ نشان می‌دهد که حداقل شوری نمونه‌های رسوب در امتداد گسل بافق – پشت بادام مربوط به عمق ۴۰–۶۰ سانتیمتر گمانه ۴ با مقدار $7980 \mu\text{S}/\text{cm}$ و حداکثر $16100 \mu\text{S}/\text{cm}$ و 132600 ppm $\mu\text{S}/\text{cm}$ متعلق به عمق ۲۰–۰ سانتیمتر گمانه ۳ می‌باشد. همچنین این نتایج حاکی از آن است که به دلیل سطح بالا آب زیرزمینی در تمام گمانه‌ها نمونه ۰–۲۰ سانتیمتر رسوب نسبت به دیگر اعمق شورتر است. در واقع به دلیل نیروی موئینگی^۱، آب به همراه املاح به بالا حرکت می‌کند و بعد از تبخیر آب، املاح در لایه سطحی رسوب باقی می‌مانند و این عمل به صورت مکرر تکرار و سبب شوری بیشتر لایه سطحی رسوب می‌شود. علاوه بر این، مقایسه نمونه‌های رسوب در امتداد گسل بافق – پشت بادام در مقابل نمونه‌های رسوب کویر درآجیر مؤید آن است که نه تنها نمونه‌های رسوب کویر در مقایسه با نمونه‌های رسوب در امتداد بافق – پشت بادام دارای شوری بیشتری هستند بلکه از سخت شدگی قابل توجهی برخوردار است (شکل ۱۰).

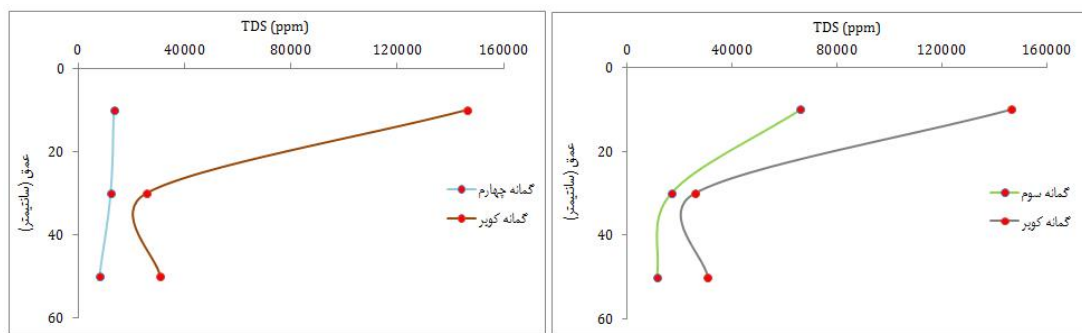
جدول ۲: نتایج آنالیز شیمیایی نمونه‌های رسوب

نمونه کویر درآجیر	امتداد گسل بافق – پشت بادام				پارامتر اندازه‌گیری شده	عمق (سانتیمتر)
	۴ گمانه	۳ گمانه	۲ گمانه	۱ گمانه		
-	۶/۵	۶/۶	۶/۵	۶/۷	۶/۳	۰–۲۰
۲۹۳۱۵۰	۲۷۵۸۰	۱۳۲۶۰	۶۷۳۲۰	۶۱۲۷۰	EC	
۱۴۶۳۷۰	۱۳۴۴۰	۶۶۱۳۰	۳۳۶۶۰	۳۰۴۷۰	TDS	
۶/۱	۶/۷	۶/۶	۶/۵	۶/۵	pH	
۵۵۸۸۰	۲۴۶۴۰	۳۳۳۲۰	۴۰۶۰۰	۲۵۲۷۰	EC	۴۰–۲۰
۲۵۸۵۰	۱۲۲۵۰	۱۶۸۷۰	۱۸۵۵۰	۱۲۶۰۰	TDS	
۶/۵	۶/۹	۶/۸	۶/۷	۶/۵	pH	
۶۲۲۶۰	۱۶۱۰۰	۲۲۸۲۰	۲۳۸۰۰	۲۲۶۸۰	EC	
۳۰۸۰۰	۷۹۸۰	۱۱۳۴۰	۱۱۸۳۰	۱۱۴۱۰	TDS	۶۰–۴۰
۱۳۷۰۹۶		۴۱۵۰۰			EC	
۶۷۶۷۳		۲۰۵۴۴			TDS	میانگین



شکل ۸. تغییرات عمودی شوری رسوبات در گمانه‌های اول و دوم در مقایسه با نمونه رسوبات سخت کویر

۱. Capillarity



شکل ۹. تغییرات عمودی شوری رسوبات در گمانه‌های سوم و چهارم در مقایسه با نمونه رسوبات سخت کویر



شکل ۱۰. سخت شدگی رسوبات کویر در آنجیر در منطقه موردمطالعه

شکل‌گیری نبکاهها

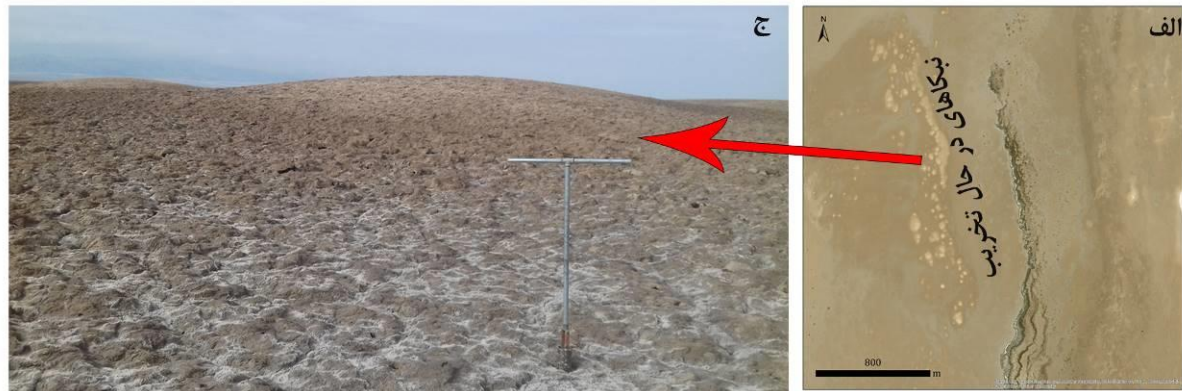
مهمنترین و شگفت‌انگیزترین اثر چشم‌های گسلی در امتداد گسل بافق – پشت بادام که نقش قابل توجهی در کنترل رسوبات بادی ایفا کرده است، تشکیل نبکا بوده است. در واقع تنذیه آب شیرین چشم‌های سبب شکل‌گیری پوشش گیاهی شده و پوشش گیاهی مذکور رسوبات بادی را به دام انداخته و سبب ایجاد لندرفرم نبکا شده است (شکل ۱۱).





شکل ۱۱. شکل گیری نبکاها در امتداد گسل بافق - پشت بادام

یکی از نکات قابل توجه در مورد تشکیل نبکاها در منطقه موردمطالعه، جابجایی محل تشکیل آنها در طول زمان به موازات تغییر مسیر خروجی چشمه‌ها بوده است. در واقع علاوه بر نبکاهایی که در زمان حال در حال رشد هستند، نبکاهایی دیگری وجود دارند که به صورت خطی در امتداد گسل شکل گرفته‌اند و در حال تخریب هستند که نشان از تغییر محل خروجی چشمه‌ها و به تبع آن خشک شدن پوشش گیاهی و تخریب نبکاها بوده است. (شکل ۱۲).

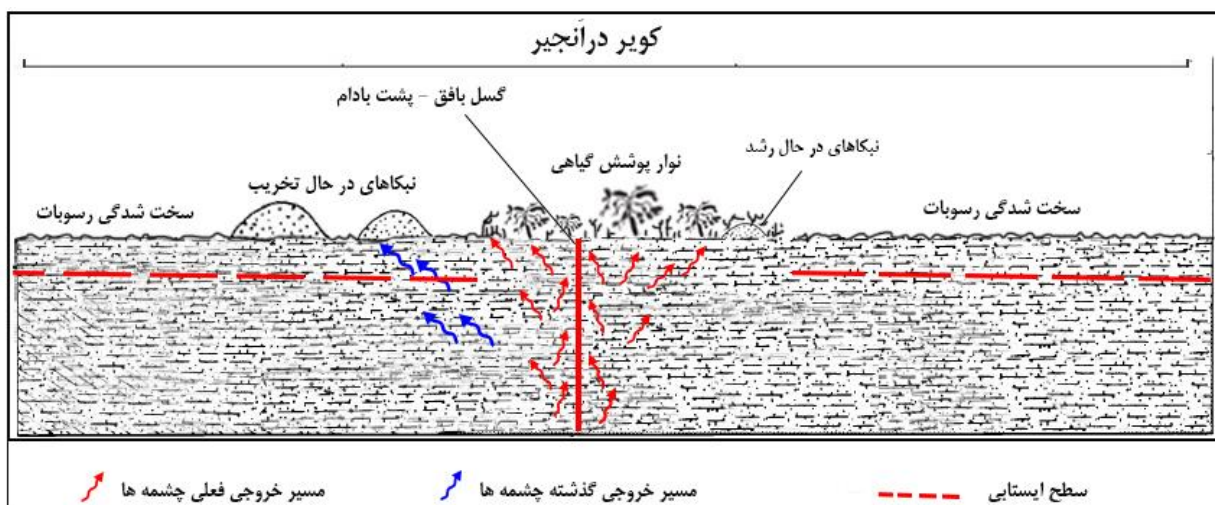


شکل ۱۲. الف و ب: موقعیت نبکاها در حال تخریب بر روی تصاویر ماهواره‌ای، ب و ج: تصویر نبکاهای نمایش داده شده در شکل الف و ب در منطقه موردمطالعه

شکل ۱۳ نحوه تأثیرگذاری چشمه‌های گسل بافق - پشت بادام را بر کنترل فرسایش بادی در منطقه موردمطالعه به صورت شماتیک نمایش می‌دهد. در واقع عبور گسل بافق - پشت بادام از کویر درانجیر و حرکت امتدادلغز آن سبب یک پدیده شگرف در کویر درانجیر شده است. به بیان دیگر تشکیل پوشش گیاهی و به تبع آن شکل گیری نبکاها در کویر درانجیر با وجود شوری و سخت شدگی رسوبات از یک طرف و بالا آمدگی آب زیرزمینی در محدوده گسل یک بی هنجاری^۱ در منطقه

¹. Anomaly

موردمطالعه ایجاد کرده است که مسبب آن ظهور و تغییر مسیر خروجی چشمه‌های گسل بافق – پشت بادام در طول زمان بوده است.



شکل ۱۳. نمای شماتیک از تأثیر چشمه‌های گسلی بر کنترل فرسایش بادی در کویر در آنجیر (منبع: نویسنده‌گان)

بحث و نتیجه‌گیری

چشم‌اندازهای فرسایش بادی به ندرت فقط توسط باد ایجاد می‌شوند، اگرچه باد می‌تواند به عنوان تعیین‌کننده اصلی ایفا نقش کند. در این راستا علیرغم اینکه از آغاز مطالعات ژئومورفولوژی بادی محققین تلاش کرده‌اند که عوامل اصلی کنترل‌کننده انواع لندفرم‌های بادی را شناسایی کنند، اما نقش چشمه‌های گسلی بر تشکیل لندفرم‌های بادی تاکنون بررسی نشده است؛ بنابراین در این پژوهش سعی گردید که برای اولین بار نقش چشمه‌های گسلی بر کنترل فرسایش بادی از طریق مطالعات میدانی، حفر گمانه و مطالعات ژئوشیمیایی در چاله در آنجیر بررسی شود.

نتایج نشان می‌دهند که فعالیت‌های نوزمین ساخت در راستای گسل بافق – پشت بادام علاوه بر ظهور چشمه‌ها در راستای گسل، با نفوذ آب شیرین به آبخوان، موجب کاهش شوری آب زیرزمینی و پیدایش یک زون مرطوب در راستای اثر در کویر در آنجیر گسل شده است. این زون مرطوب در راستای اثر گسل در منطقه مورد بررسی سبب رشد و نموی قابل توجه درختچه‌ها، درختان گز و بوته‌های نی‌شده و سرعت باد سطحی را در منطقه موردمطالعه کاهش داده است. در این زمینه پای و تسوار (۲۰۰۸) بیان نمودند که در مناطق بیابانی درجه شوری آب‌های زیرزمینی، نقش مهمی در تغییر و توزیع پوشش گیاهی بیابان‌ها دارد.

نتایج بررسی‌های صورت گرفته بر روی خصوصیات کمی و کیفی آب زیرزمینی در امتداد گسل بافق – پشت بادام حاکی از آن است که حداقل سطح ایستابی، TDS و EC در امتداد گسل به ترتیب $0/15$ متر، $12235 \mu\text{S}/\text{cm}$ و $24658 \mu\text{S}/\text{cm}$ و حداقل $0/40$ متر، $30452 \mu\text{S}/\text{cm}$ و $61284 \mu\text{S}/\text{cm}$ می‌باشد. در این منطقه چشمه‌های گسلی با تزریق آب شیرین در امتداد گسل نه تنها شوری آب زیرزمینی کویر را کاهش داده است، بلکه سطح ایستابی را نیز در امتداد گسل مذکور بالا آورده است و حمل و نقل رسوبات توسط باد را به حداقل ممکن رسانده است. در این مورد سیلوا و همکاران (۲۰۱۸) بیان داشتند که در مناطق دارای سطح ایستابی بالای آب زیرزمینی، منبع ماسه محدود و حمل و نقل رسوبات بادی کاهش پیدا می‌کند. همچنین کوکیورک و نایلسون (۱۹۸۶) چنین نتیجه گرفتند که عمق بالای آب زیرزمینی می‌تواند به وسیله حفظ رطوبت سطحی، مقدار ماسه قابل حمل توسط باد را کاهش دهد.

یافته های حاصل از آنالیز نمونه های رسوب در منطقه مطالعاتی نشان می دهد که حداقل شوری نمونه های رسوب در امتداد گسل بافق - پشت بادام مربوط به عمق ۴۰-۶۰ سانتیمتری گمانه ۴ با مقدار $7980 \mu\text{S}/\text{cm}$ و $16100 \mu\text{S}/\text{cm}$ و حداقل $132600 \mu\text{S}/\text{cm}$ متعلق به عمق ۰-۲۰ سانتیمتری گمانه ۳ می باشد. همچنین این نتایج حاکی از آن است که به دلیل سطح بالا آب زیرزمینی در تمام گمانه ها نمونه ۰-۲۰ سانتیمتری رسوب نسبت به دیگر اعمق شورتر است.

علاوه بر تشکیل پوشش گیاهی و بالا آمدگی سطح آب در امتداد گسل، تشکیل و تغییر محل شکل گیری نبکاهای از مهم ترین اثرات چشمه های گسلی بوده است که نقش قابل توجهی در کنترل رسوبات بادی ایفا کرده است. در واقع تغذیه آب شیرین چشمه سبب شکل گیری پوشش گیاهی شده و پوشش گیاهی مذکور رسوبات بادی را به دام انداخته و سبب ایجاد نبکا شده است.

نتایج به دست آمده در این پژوهش نشان می دهد که حرکت امتدالغز گسل بافق - پشت بادام و به تبع آن ظهور چشمه های گسلی نقش قابل توجهی در کنترل فرسایش بادی و تشکیل لندرفرم های بادی در چاله درآنجیر داشته است. در واقع چشمه های گسلی به سه طریق فرسایش بادی در منطقه مورد مطالعه را تحت کنترل خود درآورده است: ۱. با تشکیل یک زون مرطوب سبب رویش انواع مختلف پوشش گیاهی شده است و سرعت باد را در سطح کاهش داده، ۲. با بالا آوردن سطح ایستابی در امتداد گسل مذکور و افزایش رطوبت سطحی مانع حمل و نقل رسوبات توسط باد گردیده است و ۳. با تشکیل نبکاهای سبب تجمع رسوبات بادی در اطراف درختچه ها شده است.

تشکر و قدردانی

این پژوهش با حمایت فنی و همکاری آقای مهندس کمال کریمی رئیس سازمان منابع طبیعی شهرستان بافق، کارکنان منابع طبیعی بافق و همچنین رئیس سازمان منابع طبیعی استان یزد به انجام رسیده است که بدین وسیله از زحمات ایشان قدردانی می شود.

منابع

- احمدی، حسن، (۱۳۸۷)، *ژئومورفولوژی کاربردی، (بیابان- فرسایش بادی)*، جلد دوم، انتشارات دانشگاه تهران، تهران.
- آفانباتی، سیدعلی، (۱۳۸۳)، *زمین‌شناسی ایران، سازمان زمین‌شناسی کشور*.
- مقصودی، مهران، نگهبان، سعید، باقری، سجاد (۱۳۹۱)، *تحلیل مخاطرات ناشی از ماسه های روان بر سکونتگاه های غرب دشت لوت، مجله جغرافیا و مخاطرات محیطی*، شماره ۱، صص ۹۶-۸۳.
- یمانی، مجتبی (۱۳۹۴). *تأثیر وزش همگرای بادها در مورفولوژی و استقرار ریگ های پیرامون دشت کویر، فصلنامه کواترنری ایران*، دوره ۱، شماره ۲، صص ۱۱۲-۹۹.
- سازمان هواشناسی، داده های سینوپتیک ایستگاه بافق.
- Arens, S. M. (1996). Patterns of sand transport on vegetated foredunes. *Geomorphology*, 17(4), 339–350.
- Bauer, B. O., Davidson-Arnott, R. G. D., Hesp, P. A., Namikas, S. L., Ollerhead, J., & Walker, I. J. (2009). Aeolian sediment transport on a beach: Surface moisture, wind fetch, and mean transport. *Geomorphology*, 105(1–2), 106–116.
- Darke, I., & Neuman, C. M. (2008). Field study of beach water content as a guide to wind erosion potential. *Journal of Coastal Research*, 1200–1208.
- Fryberger, S. G., Schenk, C. J., & Krystnik, L. F. (1988). Stokes surfaces and the effects of near-surface groundwater-table on aeolian deposition. *Sedimentology*, 35(1), 21–41.

- Goudie, A. S. (2013). *Arid and semi-arid geomorphology*. Cambridge university press.
- Hesp, P. (2002). *Foredunes and blowouts: initiation, geomorphology and dynamics*. *Geomorphology*, 48(1–3), 245–268.
- Keller, E. A., & Pinter, N. (2002). *Active Tectonics: Earthquakes, Uplift and Landscape*. Second ed. Prentice Hall, NJ. 362 pp.
- Kocurek, G., & Nielson, J. (1986). *Conditions favourable for the formation of warm-climate aeolian sand sheets*. *Sedimentology*, 33(6), 795–816.
- Lancaster, N. (2013). *Sand Seas and Dune fields*.
- Langford, R. P., Rose, J. M., & White, D. E. (2009). *Groundwater salinity as a control on development of eolian landscape: An example from the White Sands of New Mexico*. *Geomorphology*, 105(1), 39–49.
- Larney, F. J., Bullock, M. S., Janzen, H. H., Ellert, B. H., & Olson, E. C. S. (1998). *Wind erosion effects on nutrient redistribution and soil productivity*. *Journal of Soil and Water Conservation*, 53(2), 133–140.
- McTainsh, G., & Strong, C. (2007). *The role of aeolian dust in ecosystems*. *Geomorphology*, 89(1), 39–54.
- Oblinger, A., & Anthony, E. J. (2008). *Surface moisture variations on a multibarred macrotidal beach: implications for aeolian sand transport*. *Journal of Coastal Research*, 1194–1199.
- Poortinga, A., Keijsers, J. G. S., Visser, S. M., Riksen, M., & Baas, A. C. W. (2015). *Temporal and spatial variability in event scale aeolian transport on Ameland, The Netherlands*. *GeoResJ*, 5, 23–35.
- Pye, K., & Tsoar, H. (2008). *Aeolian sand and sand dunes*. Springer Science & Business Media.
- Sharma, V. K. (2010). *Introduction to process geomorphology*. CRC Press.
- Silva, F. G., Wijnberg, K. M., de Groot, A. V., & Hulscher, S. J. M. H. (2018). *The influence of groundwater depth on coastal dune development at sand flats close to inlets*. *Ocean Dynamics*, 1–13.
- Thomas, D. S. G. (2011). *Arid zone geomorphology: process, form and change in drylands*. John Wiley & Sons.
- Worster, D. (2004). *Dust bowl: the southern plains in the 1930s*. Oxford University Press.
- Yang, Y., & Davidson-Arnott, R. G. D. (2005). *Rapid measurement of surface moisture content on a beach*. *Journal of Coastal Research*, 447–452.